

# Entwicklung eines Dummys für die Bewertung von Schutz- oder Bedrohungsszenarien im Kontext von Explosionen

Nachstellung der Verletzungsentstehung von Lungenverletzungen





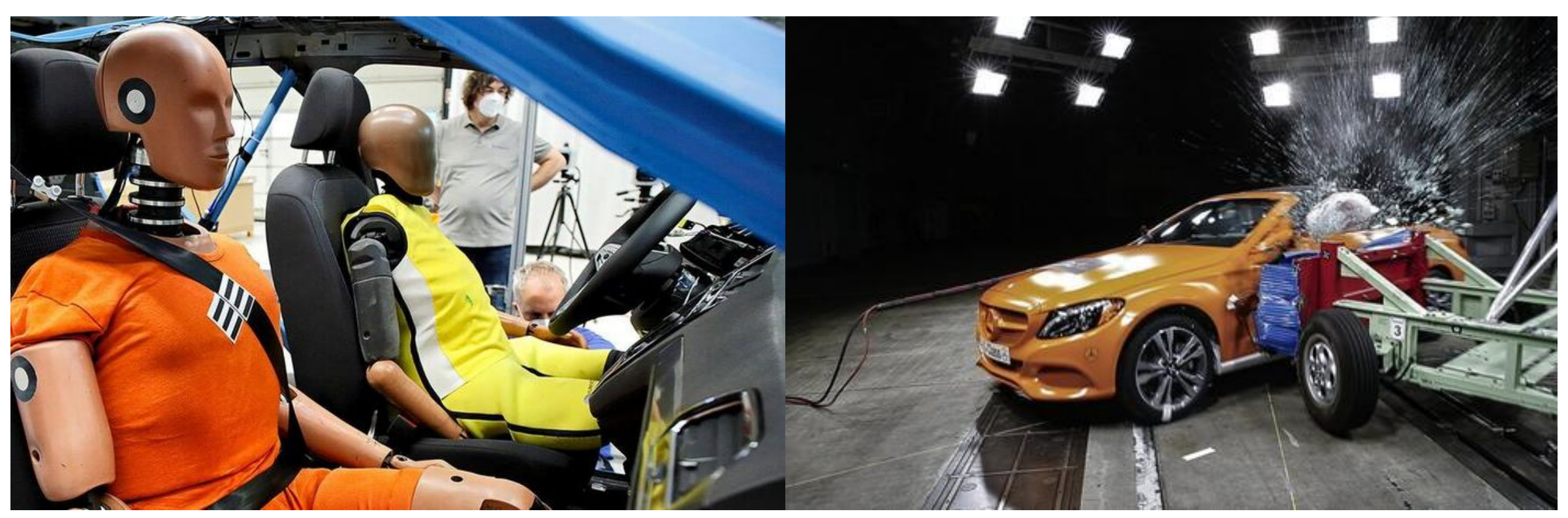
### Inhalt



- Merkmale von Explosionen
- Entstehung von Explosionsverletzungen
- Lungenverletzungen
  - Aufbau der Lunge
  - Lungenverletzungen
- Nachstellung von Verletzungen im Lungenersatzmodell
  - Anforderungen
  - Nachbildung der Alveolen Eigenschaften
  - Nachbildung des Pleuraspaltes
  - aktueller Stand Lungenersatzmodell im Biofidel Dummy
- Anwendungsbeispiel



# **Crashtest-Dummys Anwendung**



Quelle: ADAC Quelle: Mercedes Benz



# **Crashtest-Dummys Bewertung**

# unidirektionale Belastungswerte

# 

1500

HIC

500

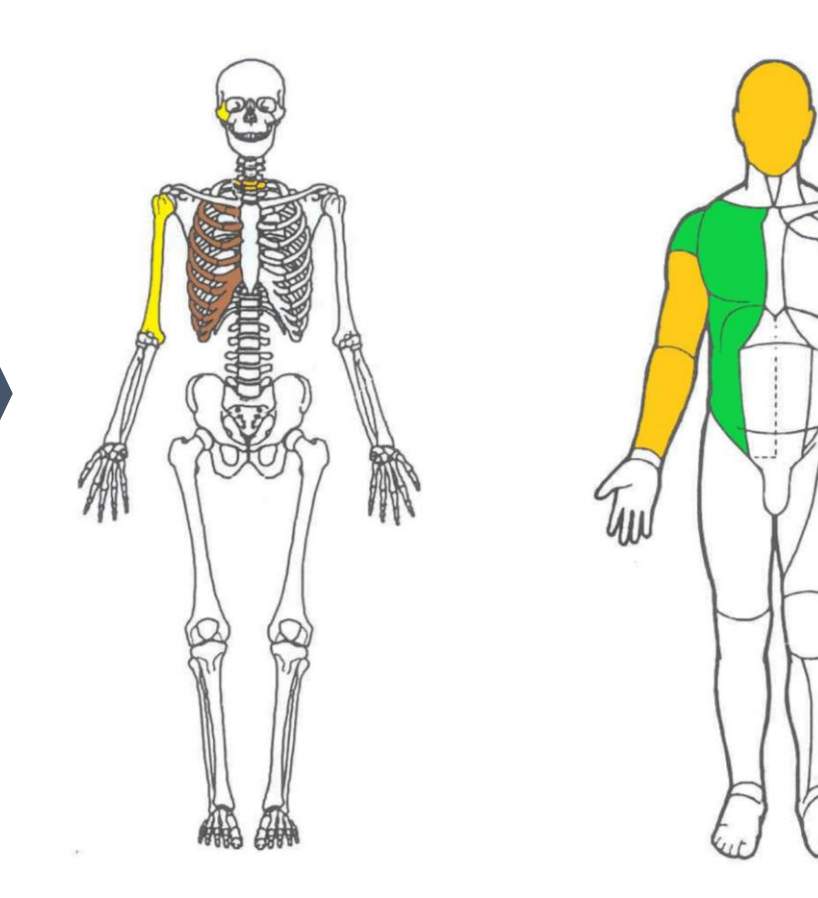
1000

2500

2000

3000

# Verletzungsprognose





# **Crashtest-Dummys Herausforderungen**

Biofidelität und Biomechanik

Nutzungseinschränkungen

Kosten und Zertifizierungsaufwand

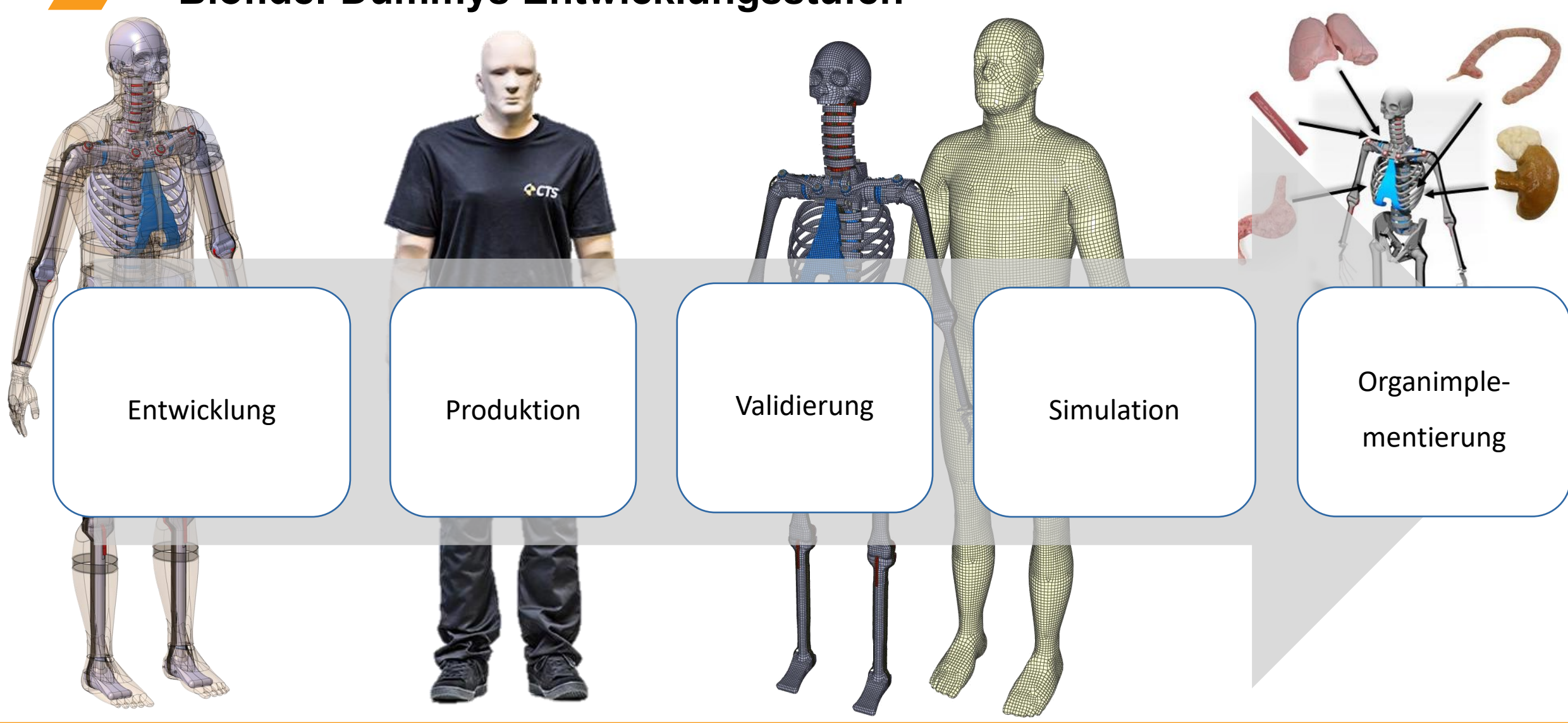
Schutzkriterien und Verletzungsrisikofunktionen

Muskeltonus

Organschäden



**Biofidel-Dummys Entwicklungsstufen** 

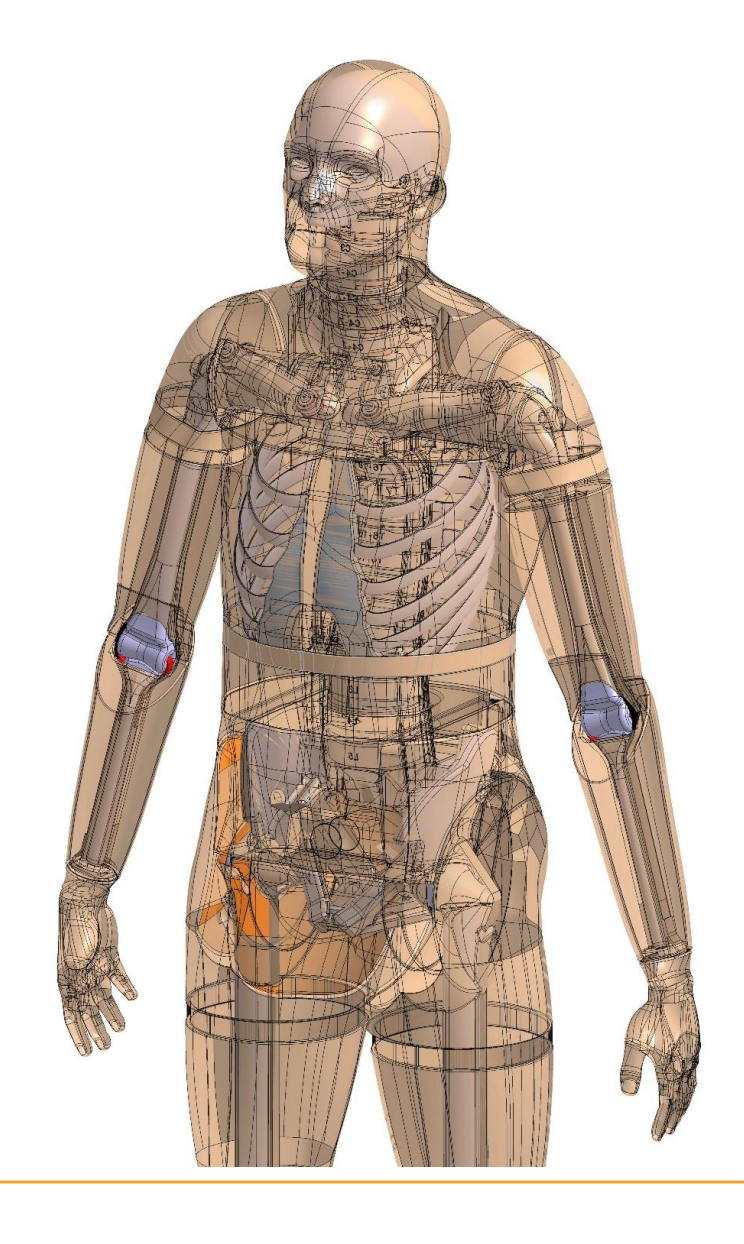




# **Biofidel-Dummys Entwicklungsstufen**

### **Version PRIMUS breakable**

- Knochenbestandteile
- Bänder und Sehnen
- Weichteilgewebe
- anthropomorphe Geometrie
- realer Bewegungsumfang
- Alter, Gewicht, Größe und Massenverteilung entspricht 50-Perzentil Mann
- 1,75 m / 79 kg
- Inertiale Messeinheit im Kopf, Becken und Thorax
- ISO 9001 zertifiziert





# **Biofidel-Dummys Bewertung**

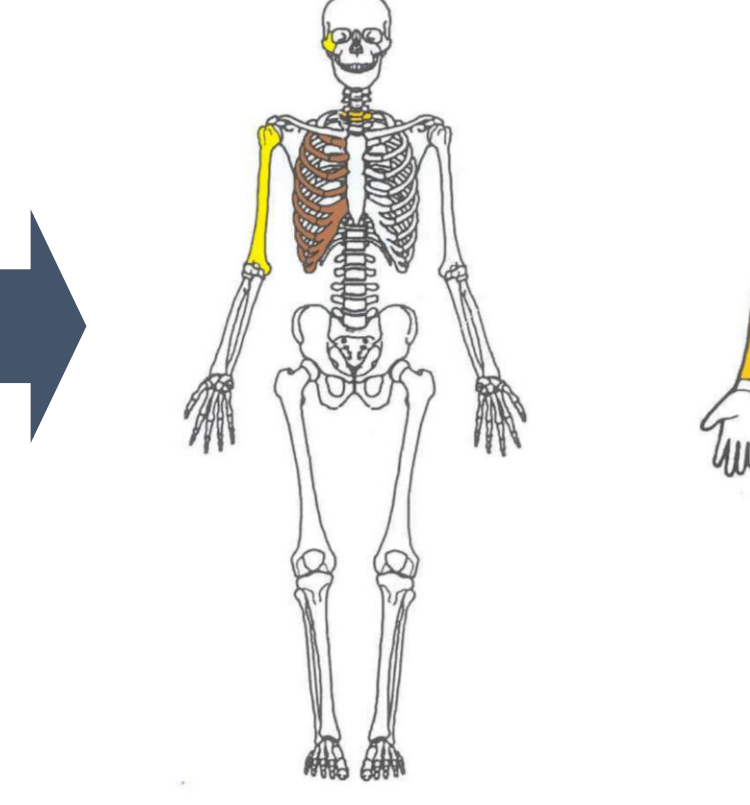
# Beschädigungen am Dummy

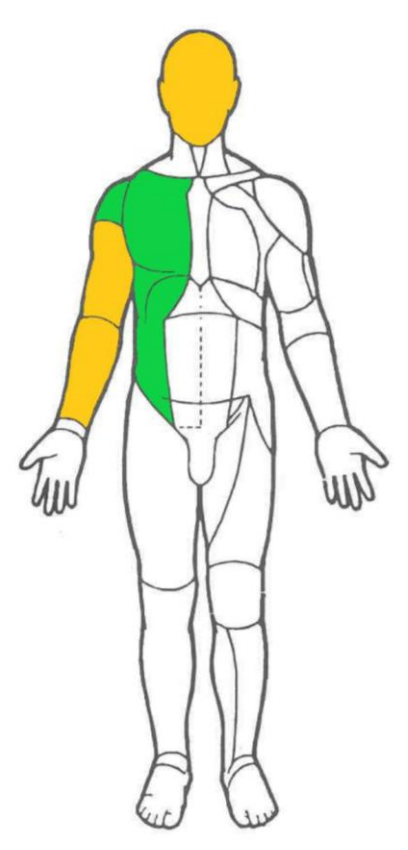






Verletzungsprognose

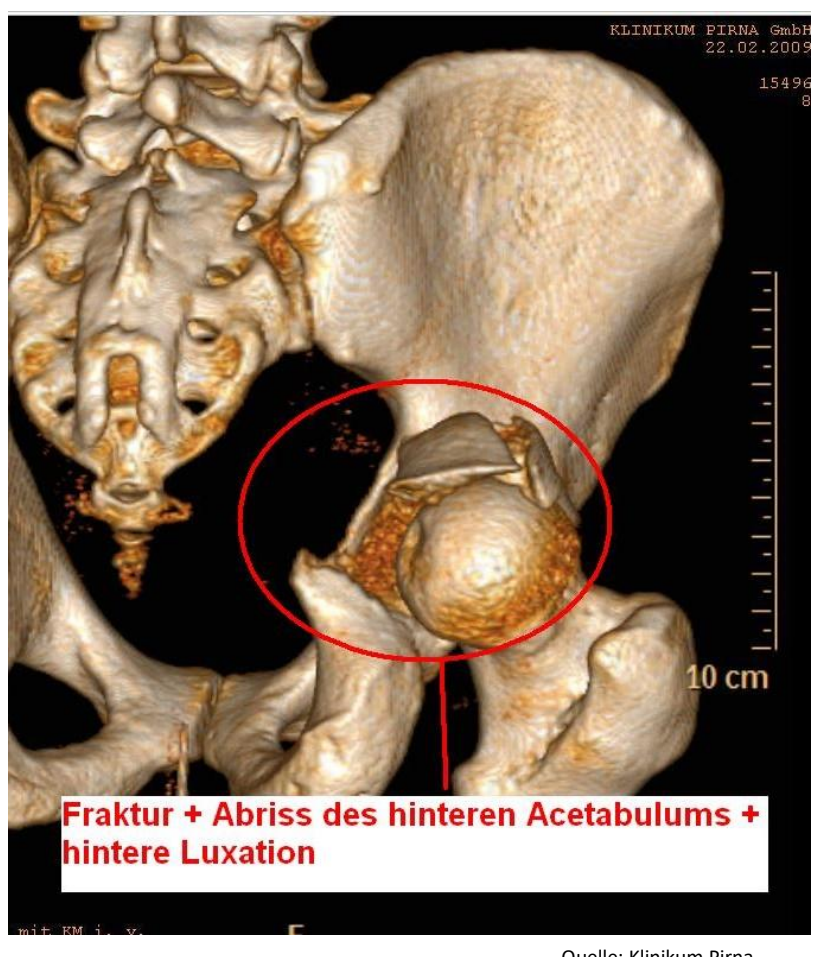




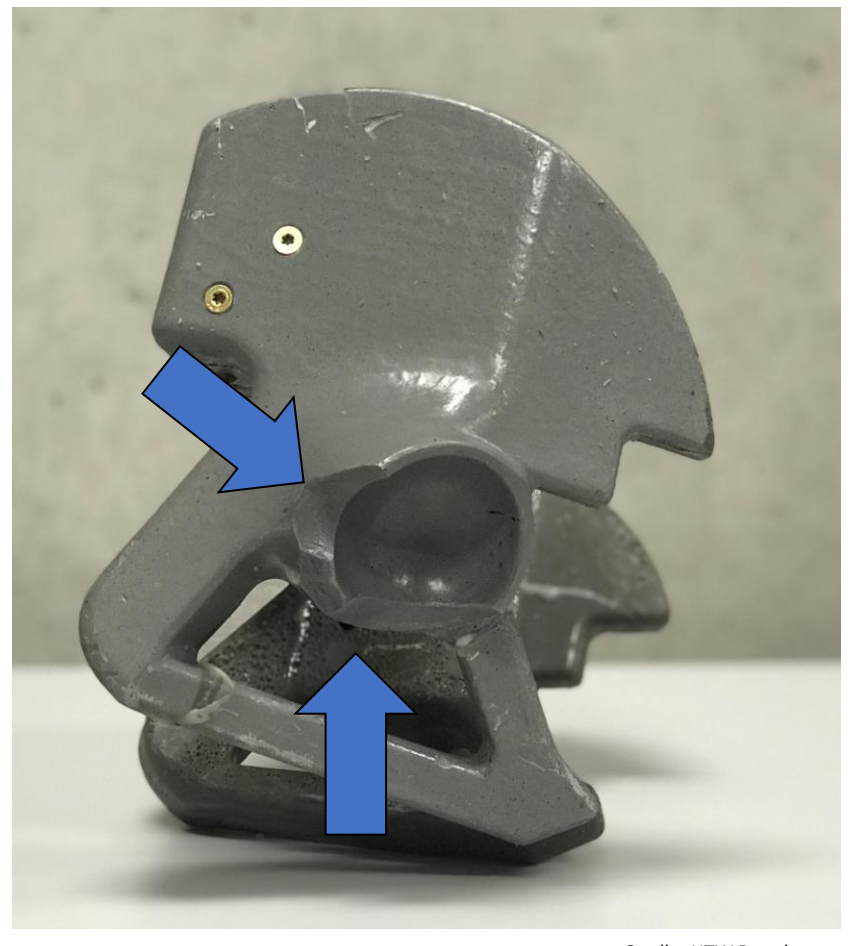


# **Biofidel-Dummys Bewertung**

### **Acetabulumfraktur Mensch**



### **Materialbruch Becken Biofidel-Dummy**



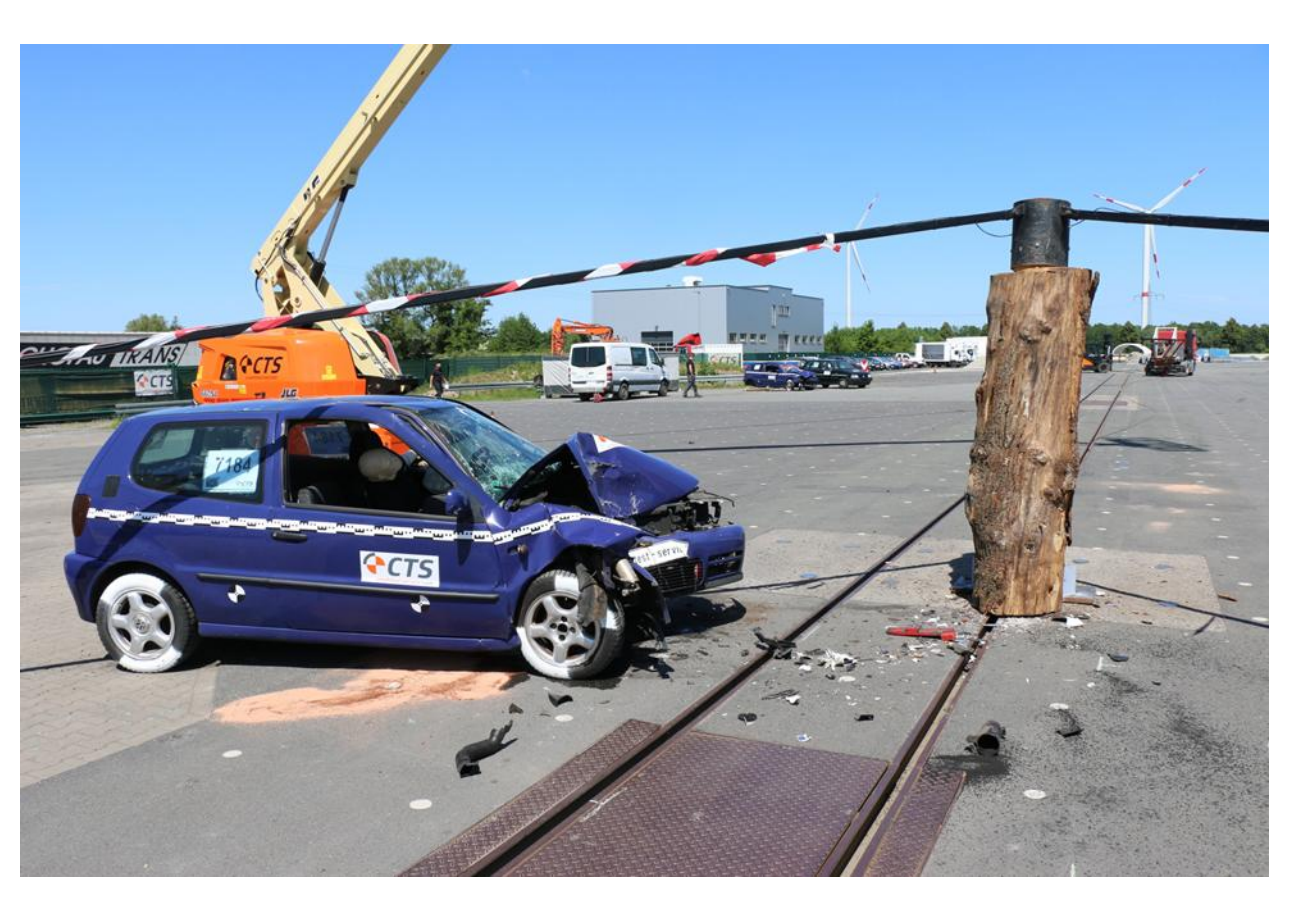
Quelle: Klinikum Pirna Quelle: HTW Dresden



# **Biofidel-Dummys Validierung**







nachgestellter Unfall (Crashtest)



# **Biofidel-Dummys Validierung**

## **Realer Unfall (GIDAS)**

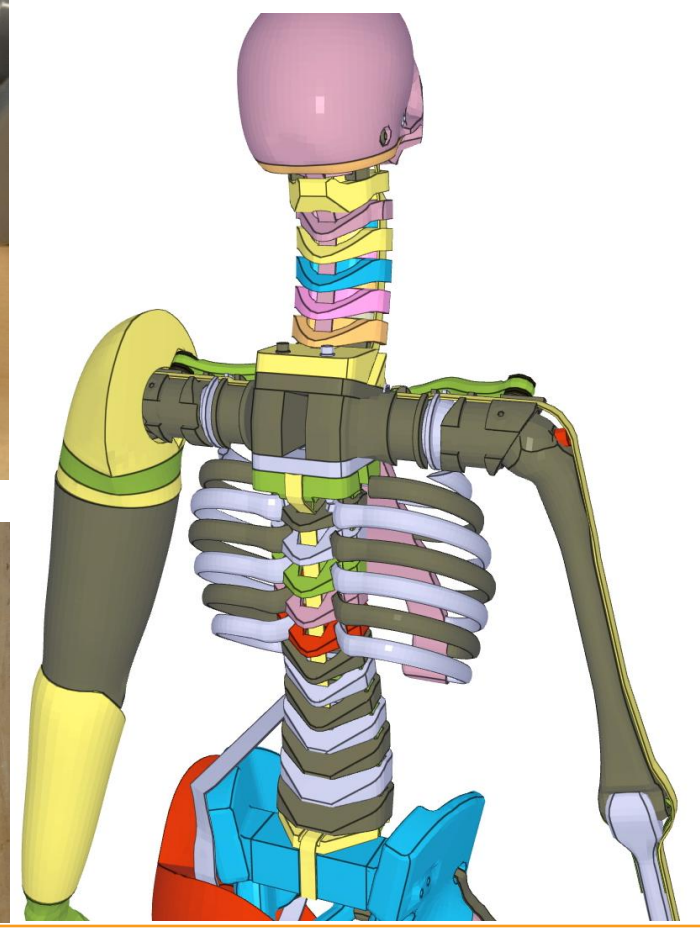


## nachgestellter Unfall (Crashtest)





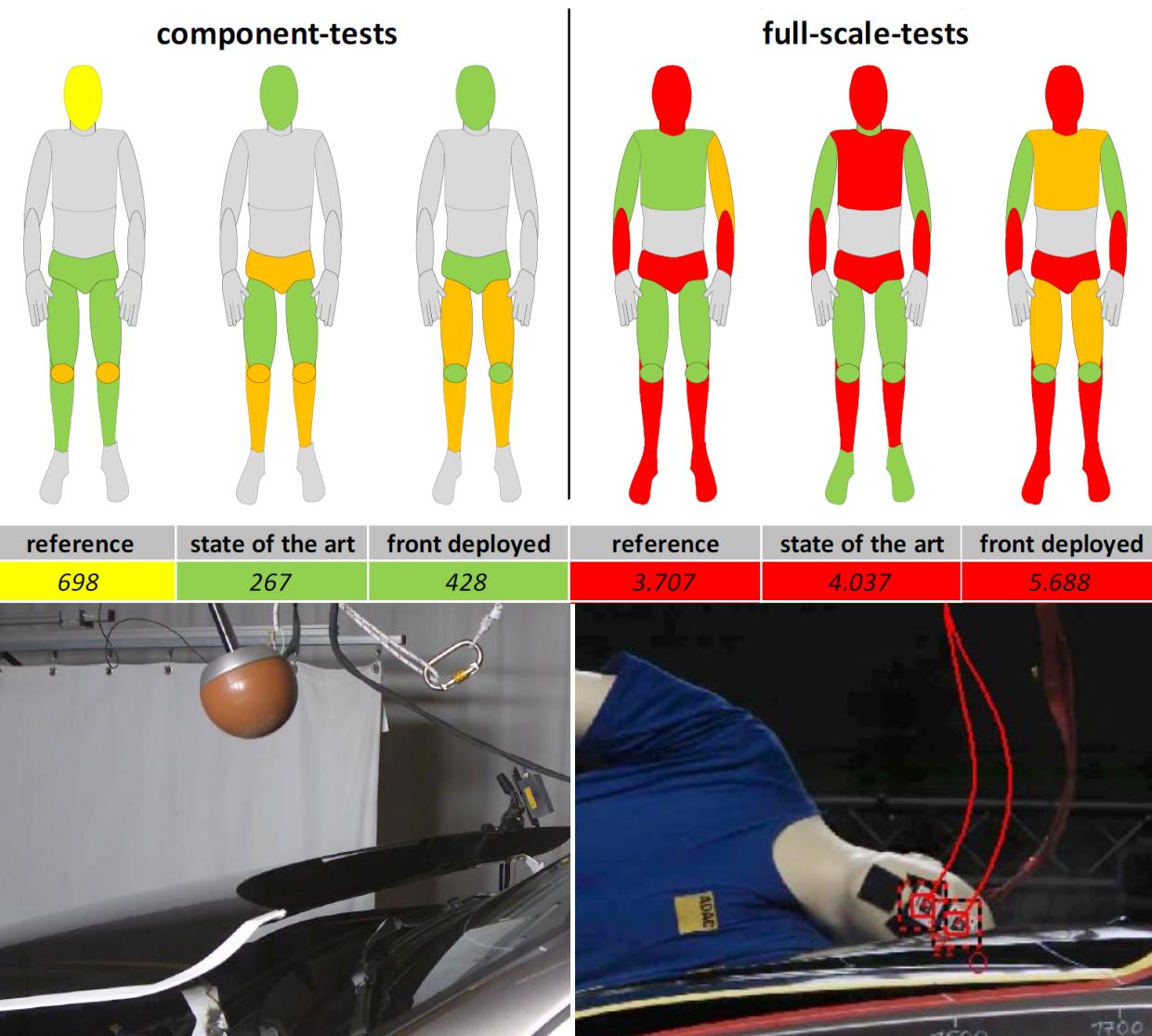
### Simulation





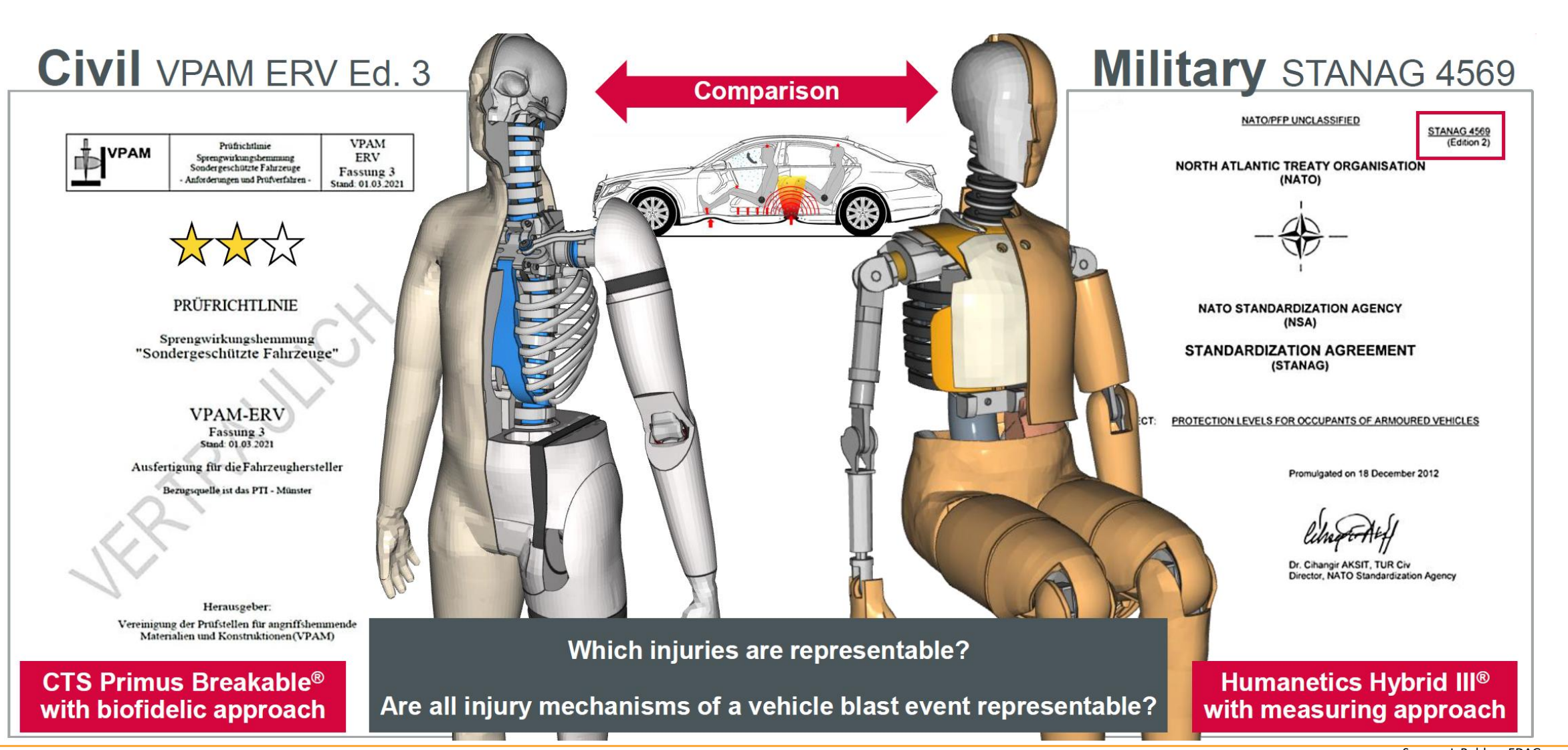
**Biofidel-Dummys Anwendung** 







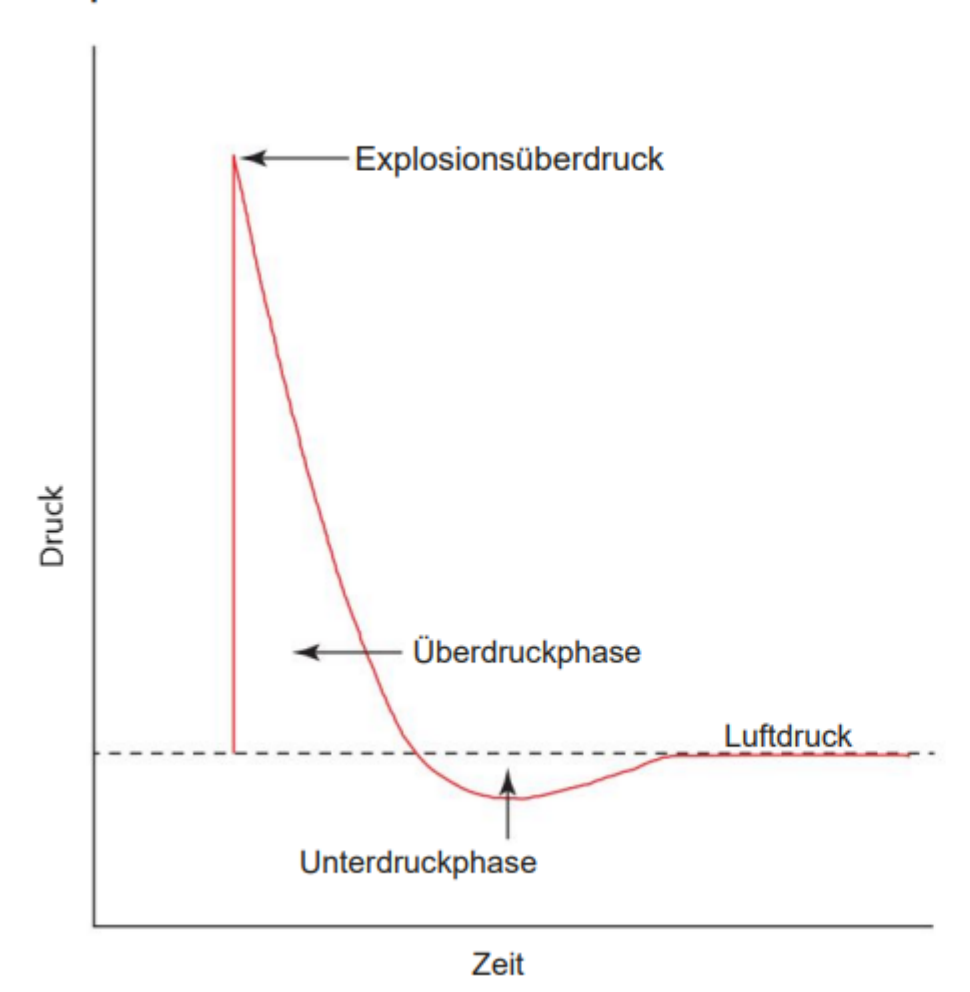
# **Biofidel-Dummys Anwendung**



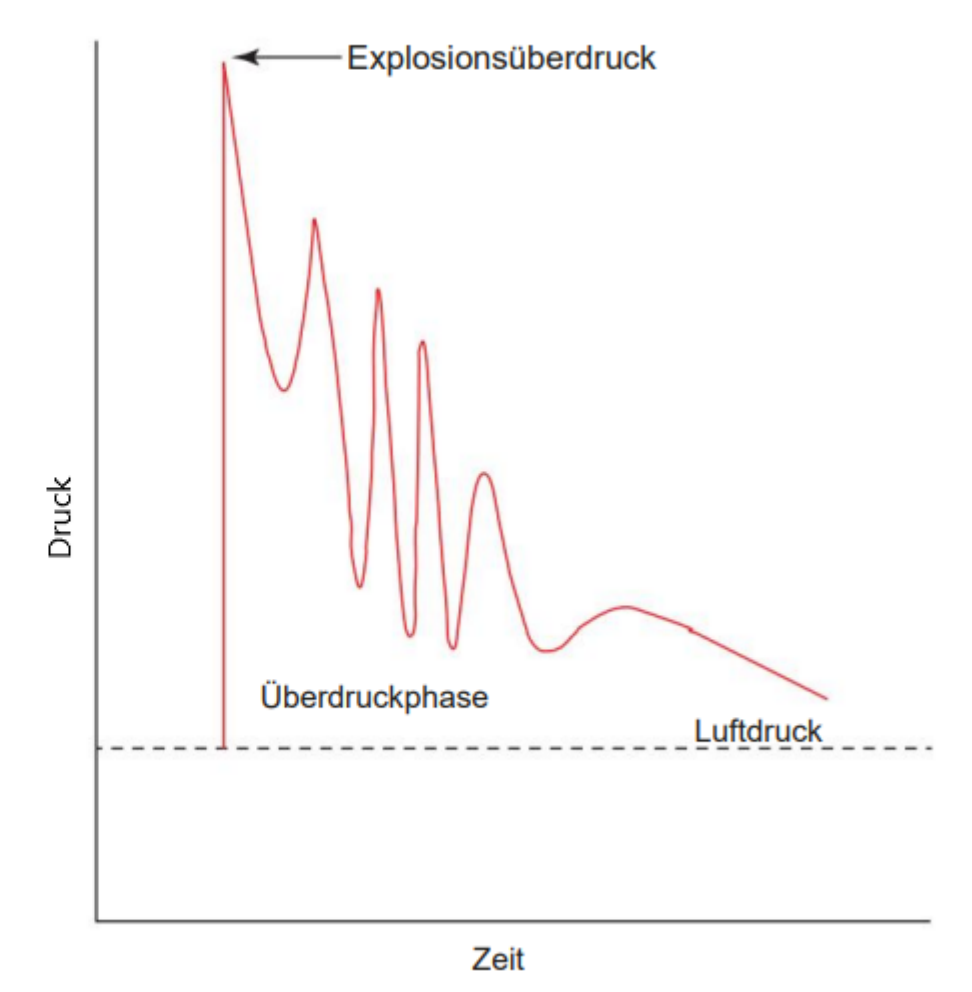




### a Explosionsdruck-Zeit-Kurve im Freien



### b Druck-Zeit-Kurve der Explosion in geschlossenen Räumen





# Überdruckphase

- plötzliche Freisetzung großer Energiemengen
- kurzzeitig hohe Druckspitzen (>100.000 bar innerhalb von wenigen Millisekunden)
- aufgrund der hohen Druckamplitude das höchste Zerstörungspotenzial
- Explosionswind treibt Splitter weiter vor sich her mit Geschwindigkeiten von bis zu 1500 m/s

### Unterdruckphase

- Druckabfall bis unterhalb des Atmosphärendrucks
- Umkehrung der Luftströmung
- Unterdruck saugt Splitter an
- danach langsame Anpassung an Umgebungsdruckniveau
- geringere Druckamplitude, aber längere Dauer als Überdruckphase



### **Mortalität**

- bis zu 30% der Opfer von Explosionen versterben vor Ort
- Anteil erhöht sich in geschlossenen Räumen durch Reflexionen, abhängig von:
  - Höhe der Druckamplitude
  - Dauer der Überdruckphase
  - Abstand zum Detonationsort
- Verletzungen der Lunge weisen höchste Mortalität auf

Ziel ist die modellhafte Abbildung der Lunge zur Bewertung von explosionsbedingten Lungenverletzungen!



# Entstehung von Explosionsverletzungen



# Entstehung von Explosionsverletzungen



### primäre Explosionsverletzungen

vor allem bei luftgefüllten Organen auf (Lunge, Margen-Darm-Trakt)

Verletzungen durch Druckwelle der Detonation

### sekundäre Explosionsverletzungen

Verletzungen durch Splitter, die von der Detonation beschleunigt werden

Verletzungen durch umherfliegende Trümmer

Splitter besitzen eine wesentlich größere Reichweite als die Druckwelle

### tertiäre Explosionsverletzungen

Verletzungen werden hervorgerufen durch

- Aufprall auf ein Hindernis
- Umfallen des Explosionsopfers
- Einstürzen von Gebäuden oder Gebäudeteilen



# Lungenverletzungen



# Lungenverletzungen Aufbau der Lunge



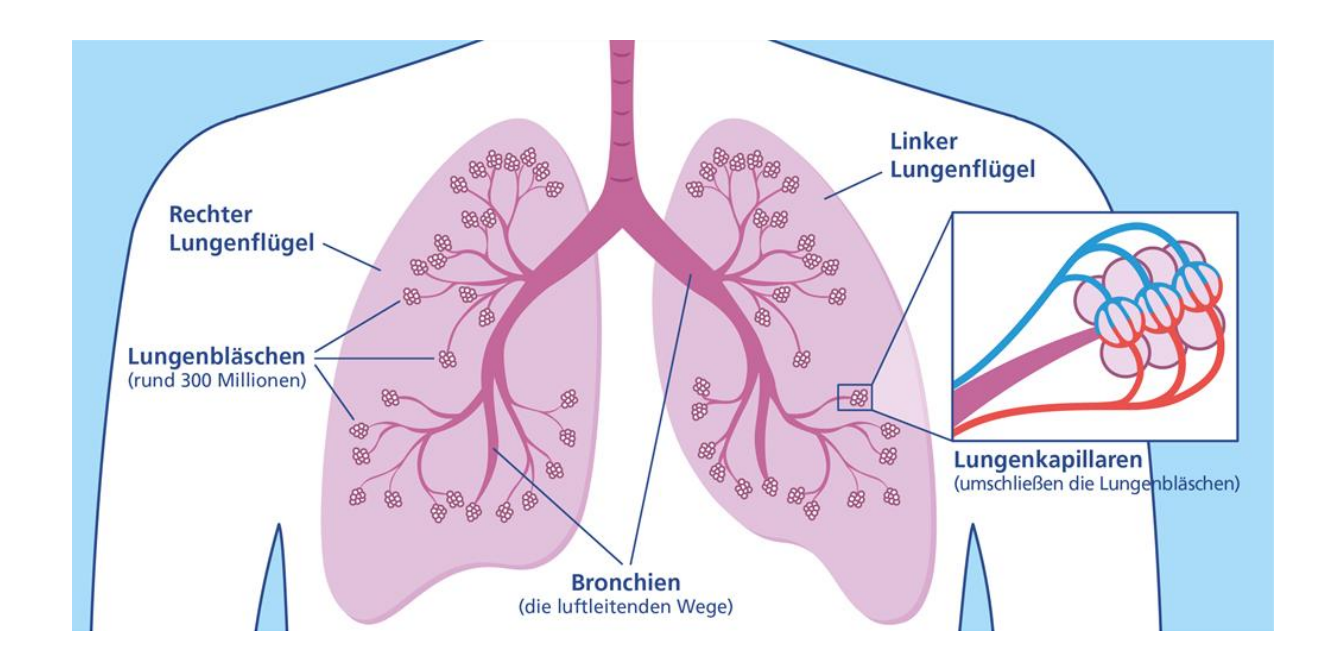
### Hohlorgan

Lunge besteht aus zwei Lungenflügeln linker Lungenflügel aufgrund der Lage des Herzens etwas kleiner

Luftröhre → zwei Hauptbronchien → Bronchien und Bronchiolen → Lungenbläschen (Alveolen)

### Alveolen

- machen Großteil des Lungengewebes aus
- von Kapillarnetz umzogen
- sorgen für Gasaustausch
- Anzahl: ca. 300 Millionen
- Durchmesser: ca. 0,2 mm



[2]

# Lungenverletzungen Aufbau der Lunge



# Pleuraspalt

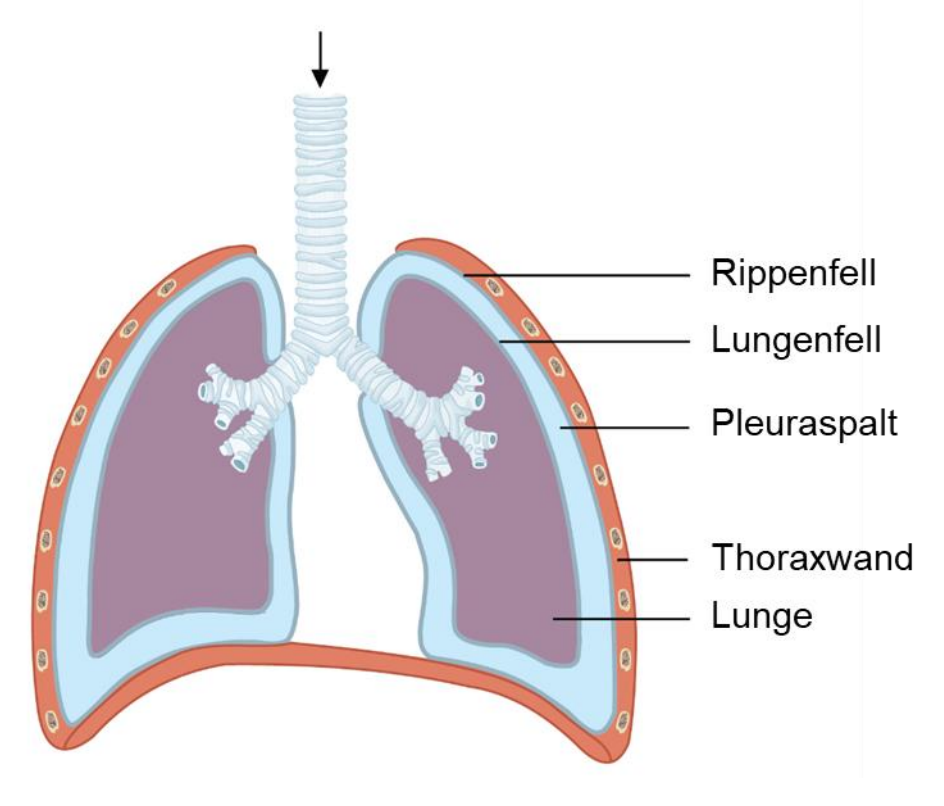
befindet sich zwischen den beiden Schichten des Brustfells (Pleura)

Lungenfell: umhüllt Lungenflügel

Rippenfell: kleidet Innenwand des Brustkorbs aus

der hier herrschende Unterdruck spannt die Lunge in der Brusthöhle auf

durch Flüssigkeitsfilm können sich die zwei Schichten des Brustfells reibungsfrei gegeneinander verschieben



[3]

# Lungenverletzungen



# primäre Lungenverletzungen

Blast lung (Explosionslunge) durch Druckwelle

Pneumothorax, Spannungs-Hämatothorax

Zerreißen der Alveolen

Lungenödem

Luftembolie

Lungenkontusion → Lungenblutungen

# Lungenverletzungen Pneumothorax



## geschlossener Pneumothorax

durch Verletzung des Lungenfells dringt Luft in den Pleuraspalt

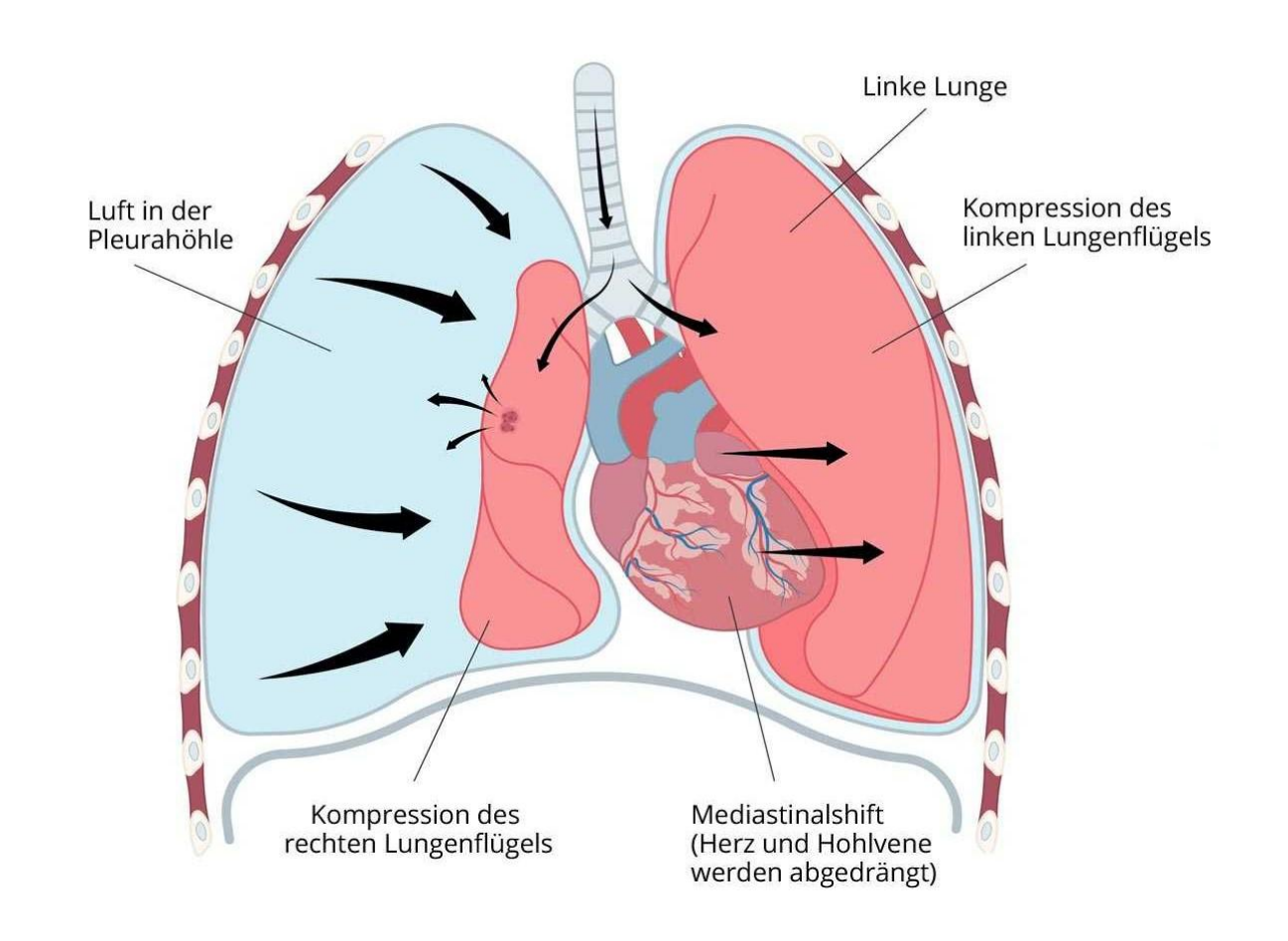
Unterdruck kann nicht aufrechtgehalten werden → Druckausgleich

Lunge kollabiert teilweise oder komplett

### offener Pneumothorax

durch offene Wunde im Thorax dringt Luft in den Pleuraspalt

Lunge kollabiert bei ausreichend großer Öffnung



### Lungenverletzungen Hämatothorax



Blut sammelt sich im Pleuraspalt

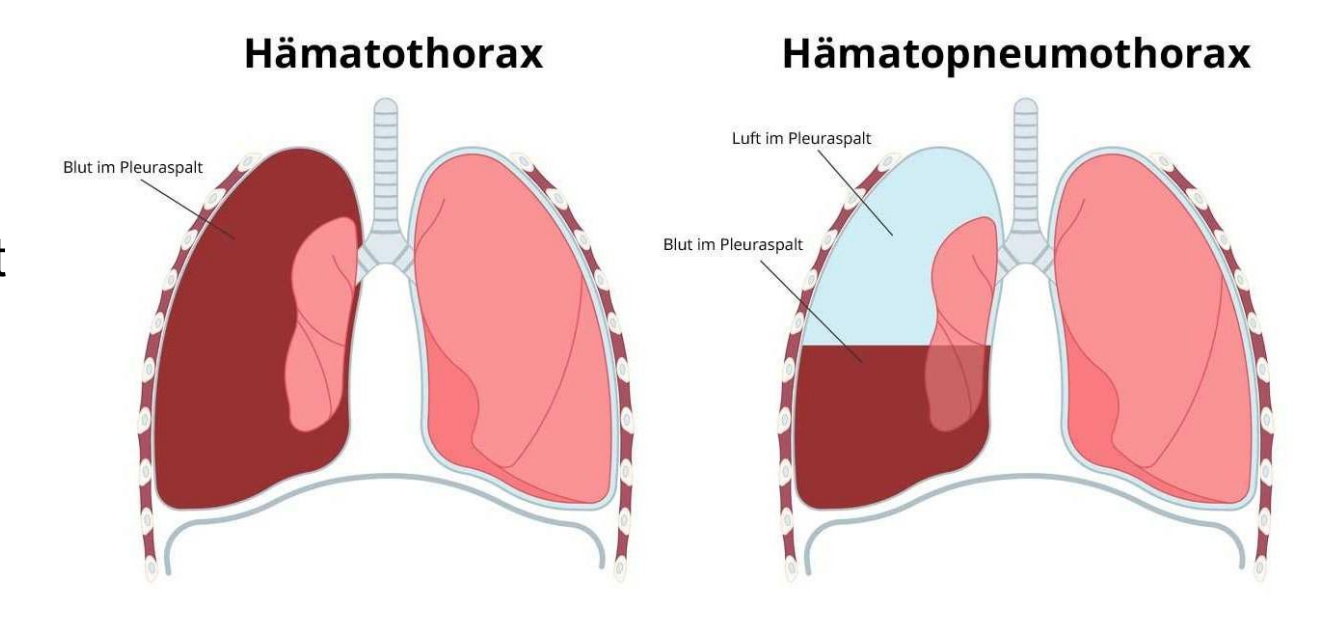
kann infolge stumpfer oder penetrierender Thoraxtraumata auftreten (siehe Pneumothorax)

Hämatopneumothorax: neben Blut auch Luft im Pleuraspalt

Schwere der Verletzung

Blutungsvolumen reicht von minimal zu massiv

massiver Hämatothorax: wird meistens als schnelle Anhäufung von ≥ 1000 ml Blut definiert



[6]

# Lungenverletzungen Zerreißen der Alveolen



Druckwelle führt zu einer massiven Überdehnung der Alveolen mit Zerreißung der alveolären Septen

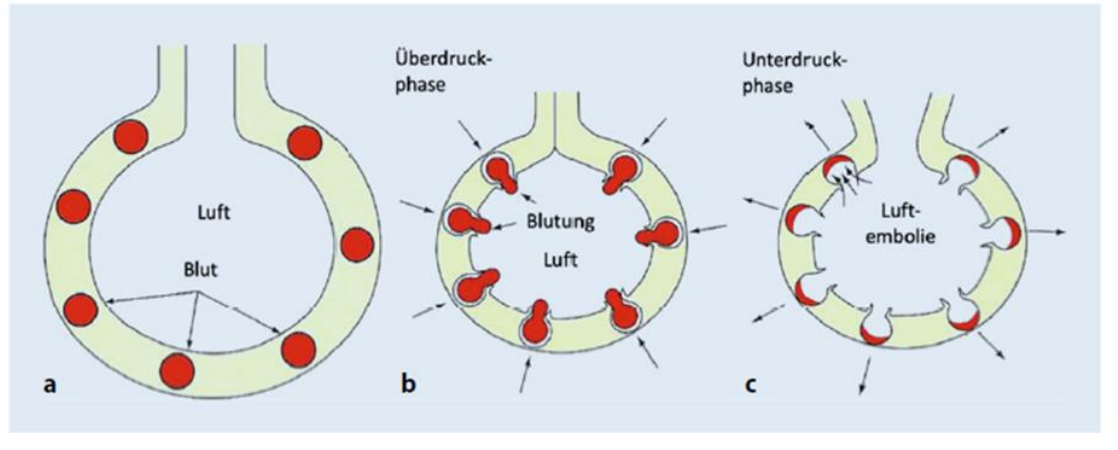
sind aufgrund ihrer filigranen Struktur besonders empfindlich für druckbedingte Schädigungen

je höher die Spitze des Überdrucks und je kürzer die Dekompressionszeit, desto stärker die Lungenschädigung durch den Überdehnungseffekt

### führt zu

alveolären Blutung Lungenödem

Luftembolie



a-Normalzustand

b-Überdruckphase c-Unterdruckphase

# Lungenverletzungen Lungenkontusion



Lungenquetschung oder Lungenprellung

Kompression des Thorax während der Überdruckphase führt zu

Blutungen in der Lunge

zieht häufig Lungenödeme nach sich

hohen intrathorakalen Druck

zerreißen der alveolären Septen

stumpfen oder penetrierenden Thoraxtrauma

Pneumothorax und Hämothorax (z.B. durch Rippenbruch, Riss der Pleura)

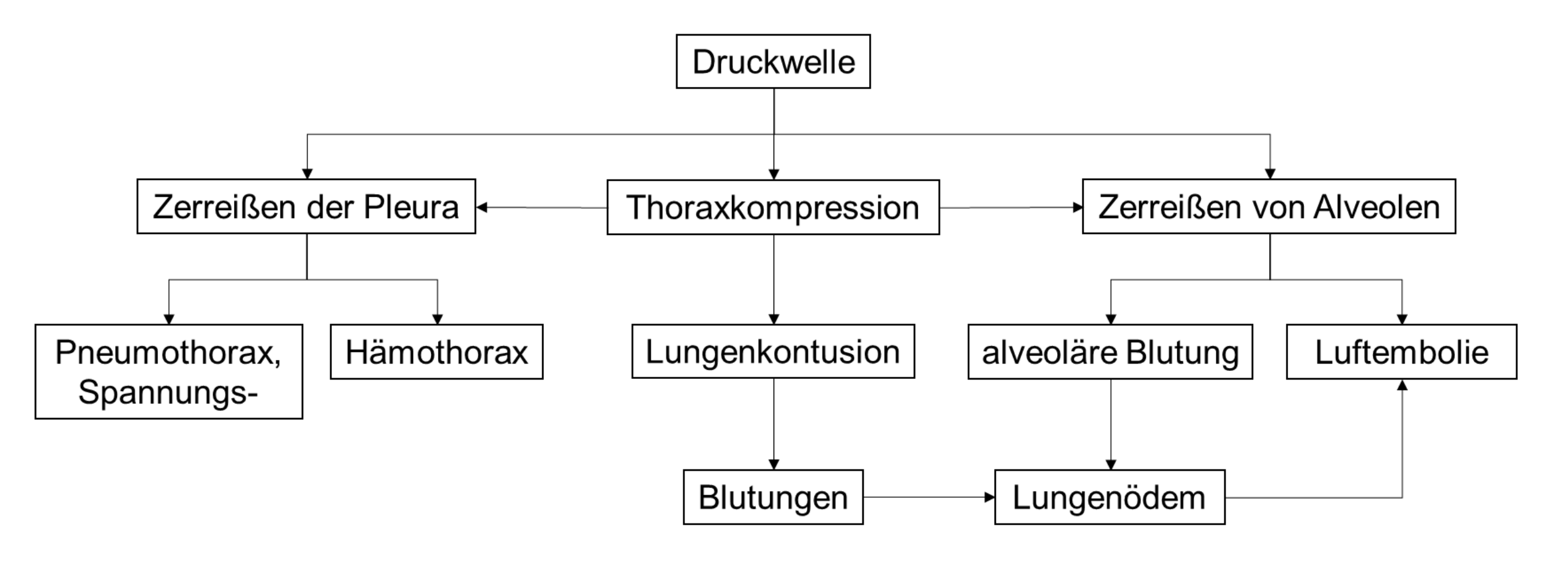
### Schwere der Verletzung

von ernst bis kritisch (je nach Blutungsmenge): von kleinen, petechialen Einblutungen bis hin zu großflächigen Blutungen

größere Quetschungen können die Sauerstoffversorgung beeinträchtigen

# Lungenverletzungen Verletzungsmechanismen







# Nachstellung von Verletzungen im Lungenersatzmodell

# Nachstellung von Verletzungen im Lungenersatzmodell Anforderungen



Darstellung der wichtigsten Verletzungsmechanismen

Pneumo- und Hämatothorax

Lungenödem

Luftembolie

Gewicht einer menschlichen Lunge (ca. 1,3 kg)

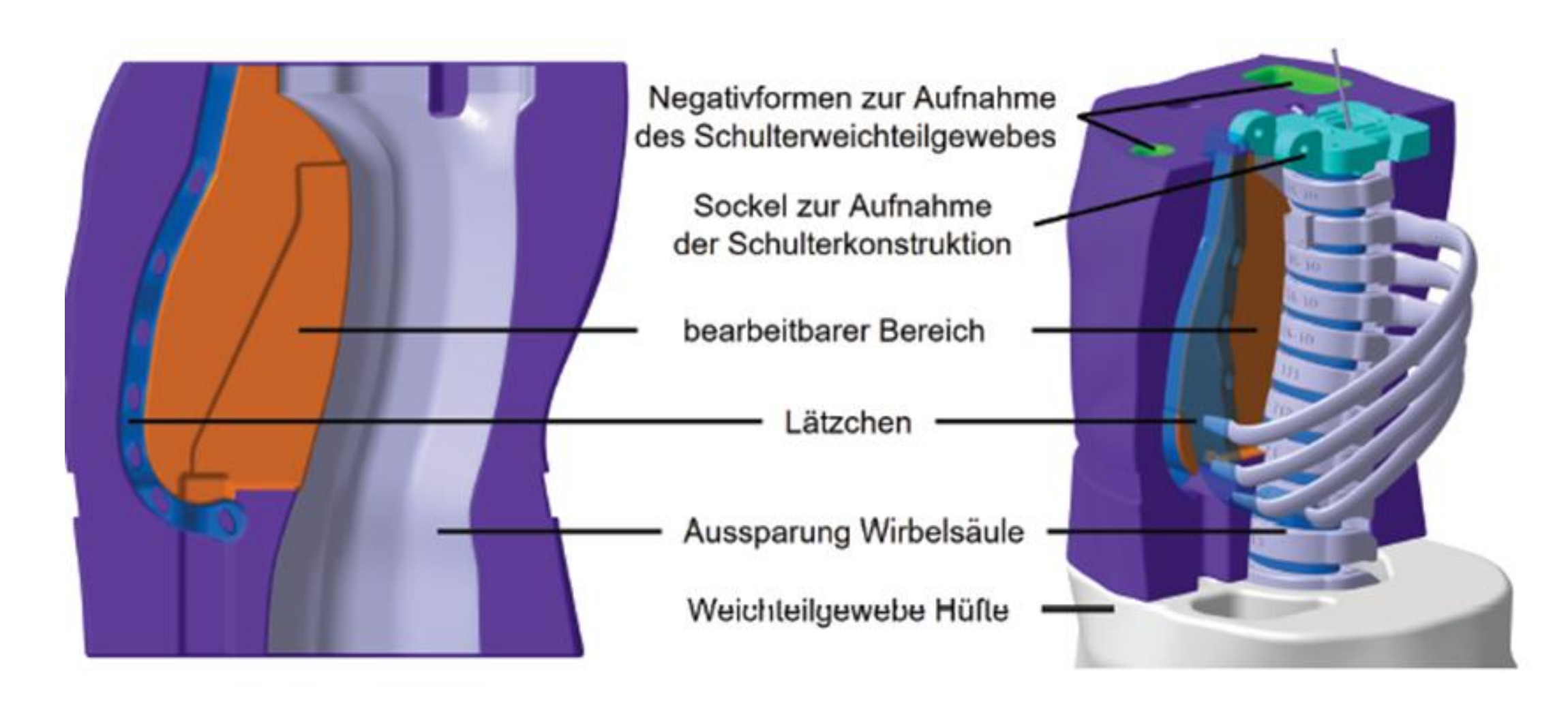
Auswertung per CT-Scan

einfache Integration und Entnahme nach Explosion

# Nachstellung von Verletzungen im Lungenersatzmodell Anforderungen



Integration in das Thoraxmodell

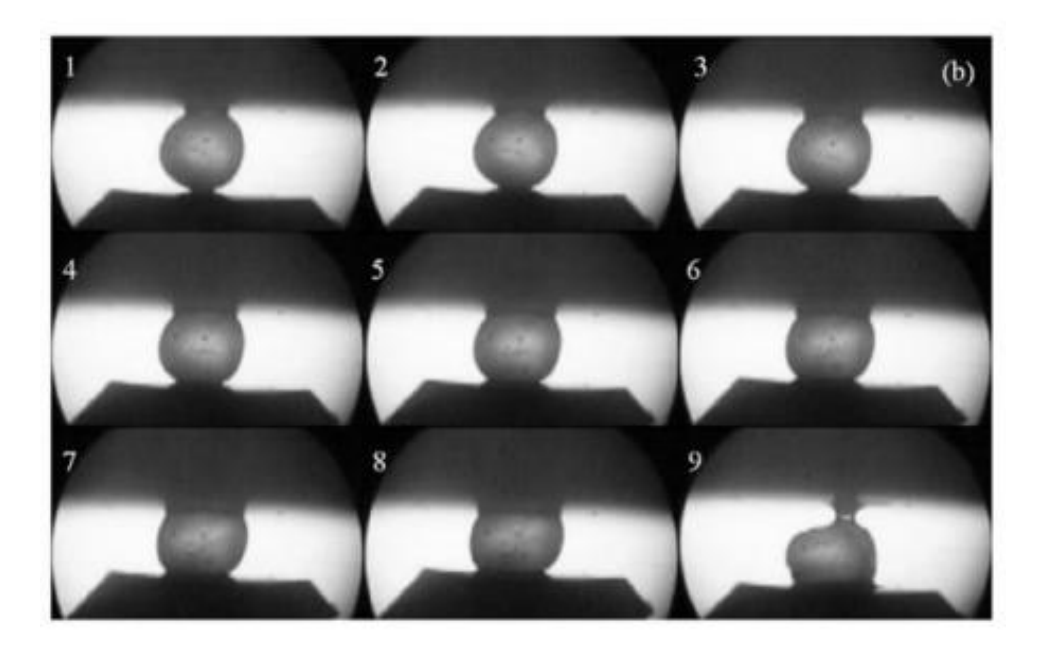


# Nachstellung von Verletzungen im Lungenersatzmodell Nachbildung der Alveolen Eigenschaften



Mikrokapsel-Schaum-Modell





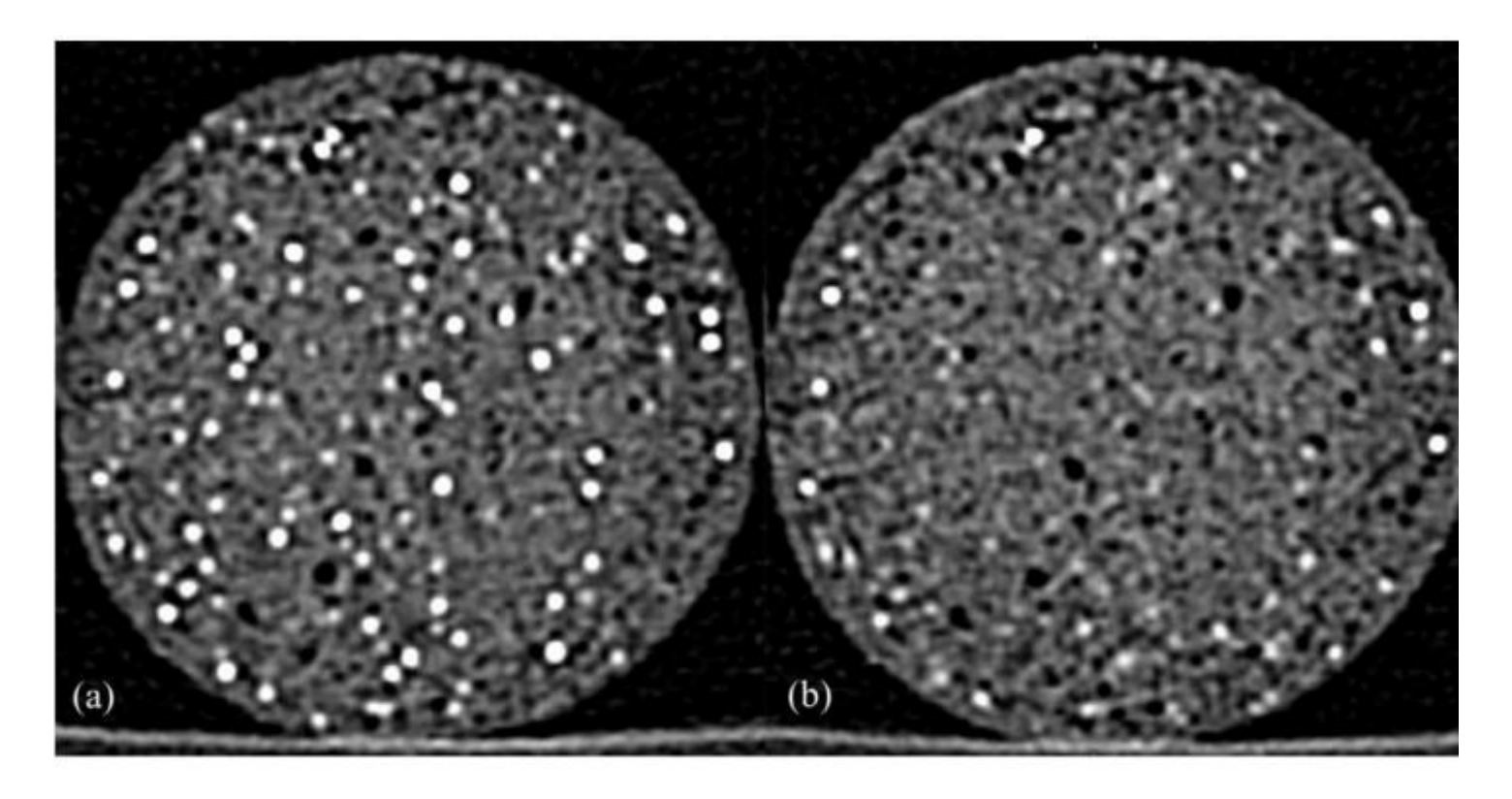
# Nachstellung von Verletzungen im Lungenersatzmodell Nachbildung der Alveolen Eigenschaften



# Nachbildung der Alveolen Eigenschaften

Mikrokapsel-Schaum-Modell

Berechnung der Schadensrate als prozentuale Anzahl geplatzter Kapseln im Vergleich zur Ausgangszahl

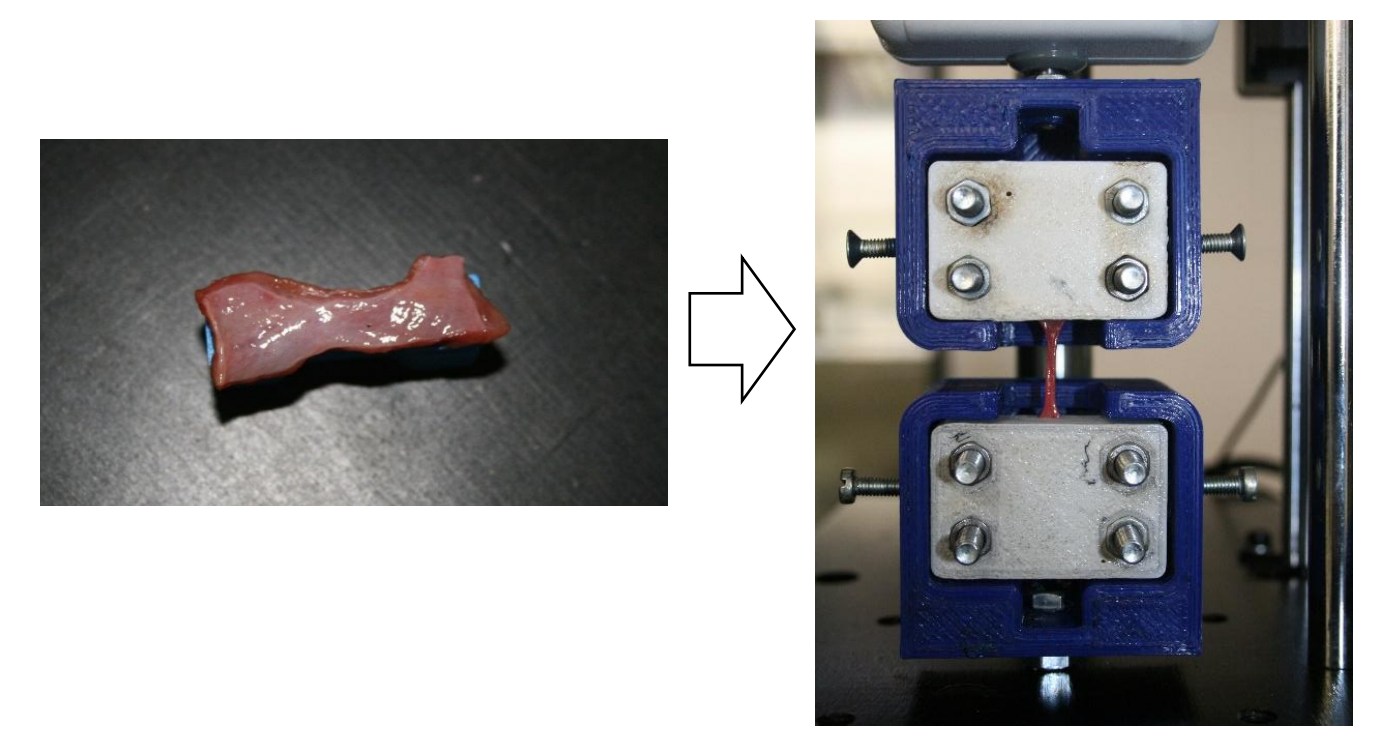


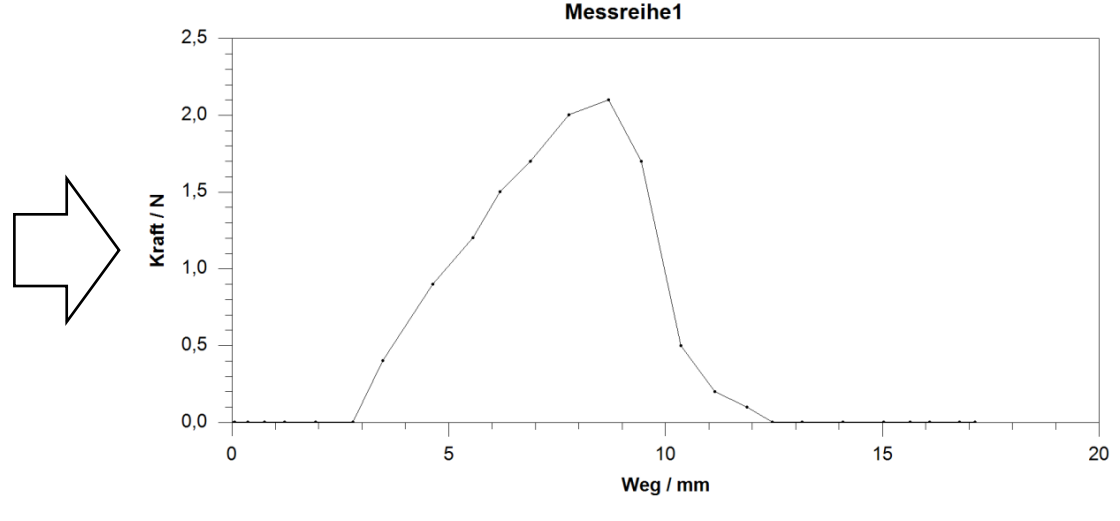
# Nachstellung von Verletzungen im Lungenersatzmodell Nachbildung des Pleuraspaltes



Bestimmung mechanischer Eigenschaften von menschlichen Lungengewebe (Lungen- und Rippenfell) und angrenzenden Gewebe (Zwerchfell) durch Zugversuch

In Kooperation mit der Rechtmedizin der Medizinischen Fakultät der TU Dresden

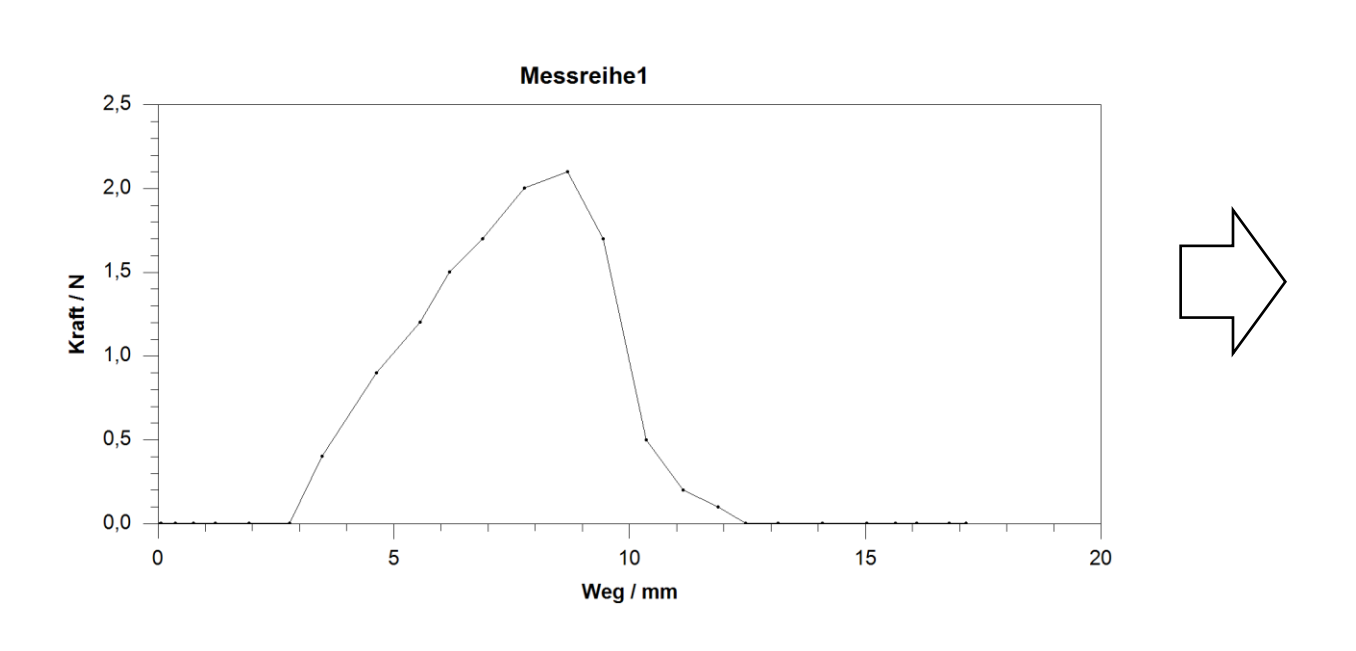


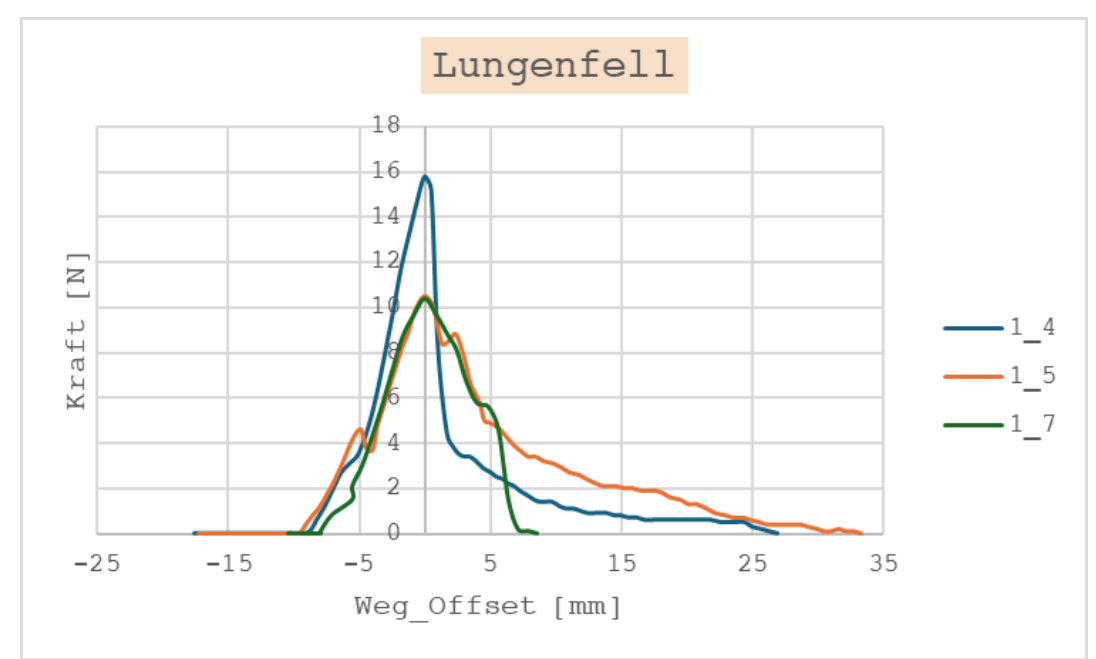


# Nachstellung von Verletzungen im Lungenersatzmodell Nachbildung des Pleuraspaltes



Ermittlung von Durchschnittswerten in Abhängigkeit von Alter und Zustand (n=180 Zugversuche)

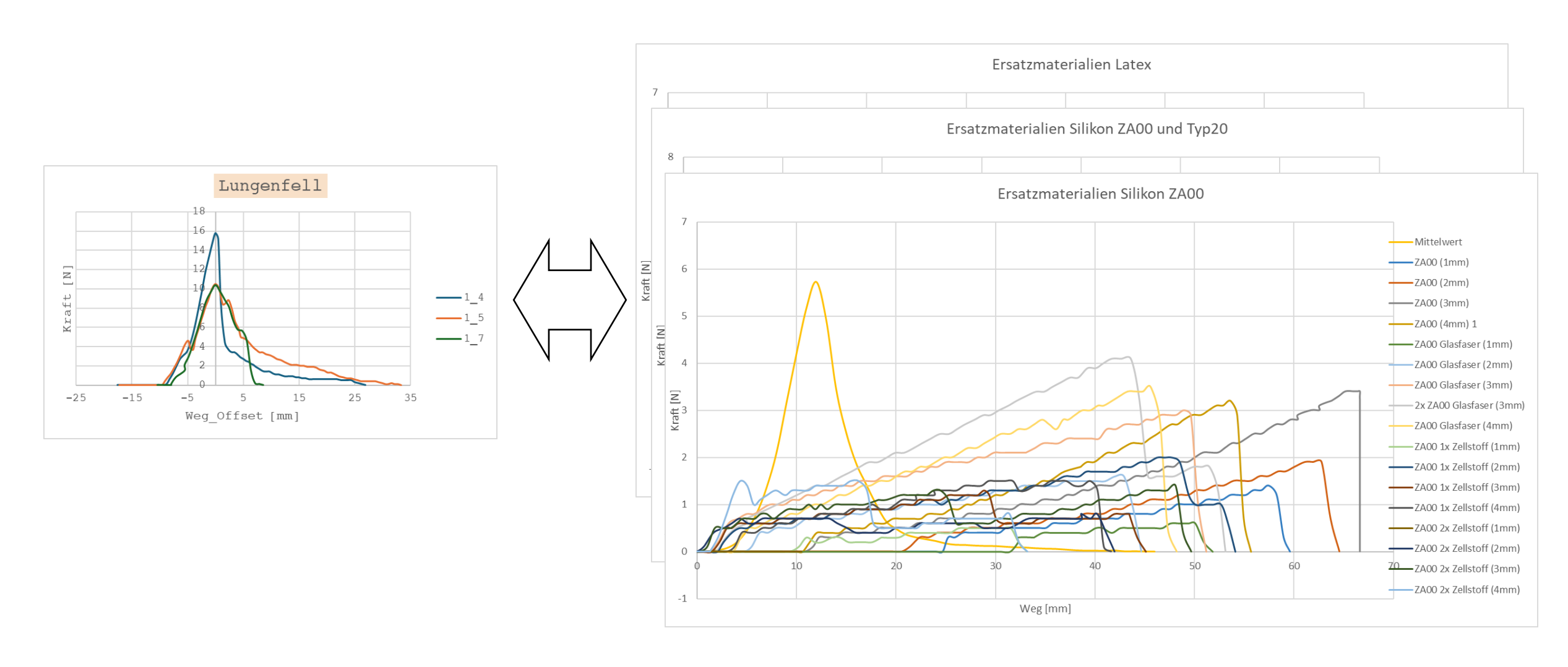




# Nachstellung von Verletzungen im Lungenersatzmodell Nachbildung des Pleuraspaltes

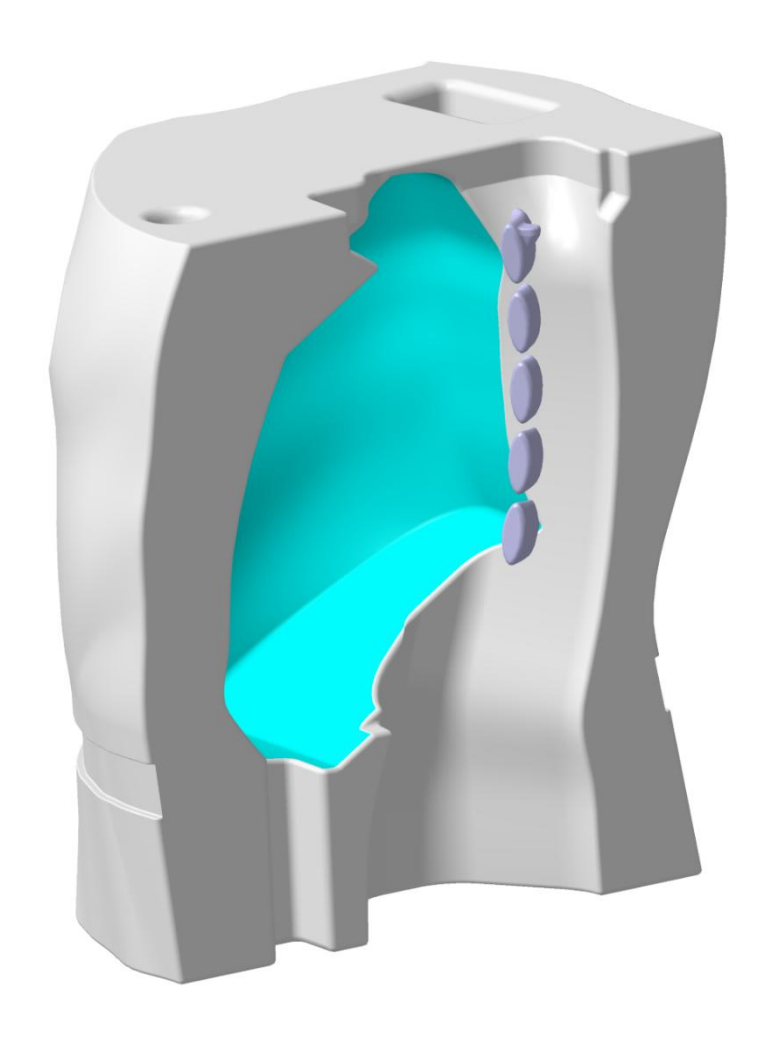


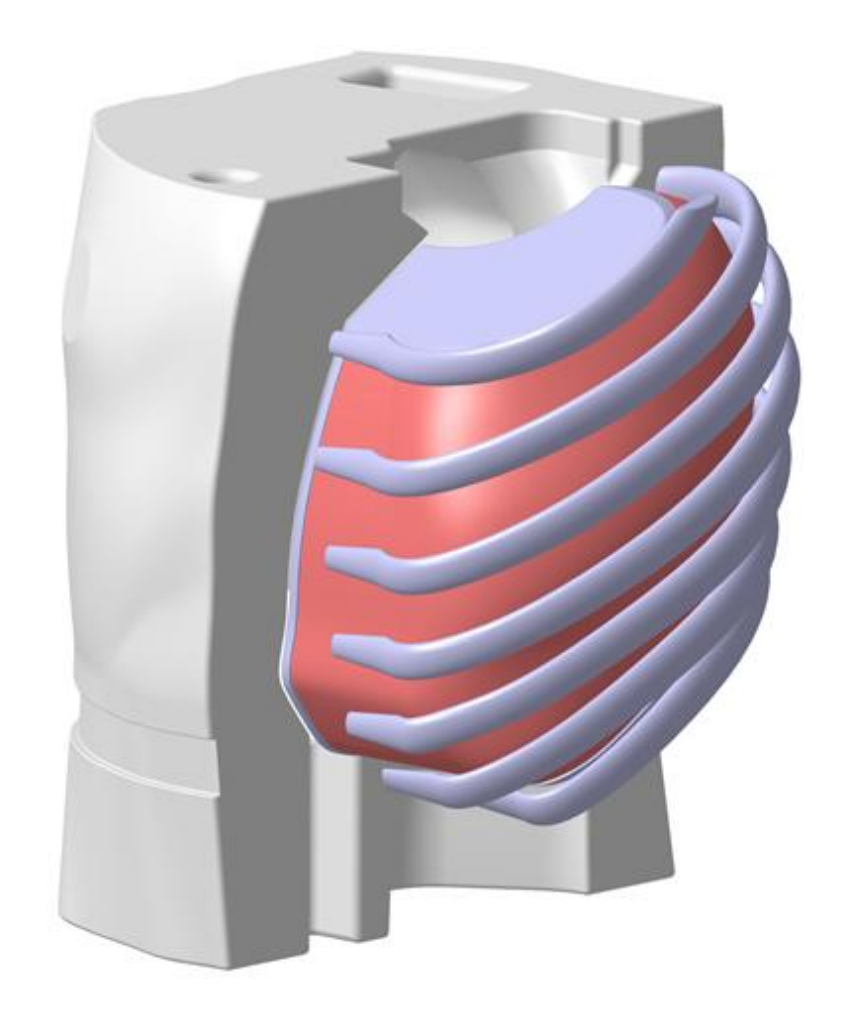
# Vergleich mit anorganischen Surrogat-Werkstoffen



# Nachstellung von Verletzungen im Lungenersatzmodell Aktueller Stand des Lungenersatzmodells im Biofidel Dummy









# Vielen Dank für Ihre Aufmerksamkeit!

Prof. Dr.-Ing. Lars Hannawald Dr.-Ing. Benjamin Härtel Dipl.-Ing. (FH) Sandra Beutin